

УДК 517.97, 539.376

МАТЕМАТИЧЕСКОЕ МОДЕЛИРОВАНИЕ ОБРАТНЫХ ЗАДАЧ ФОРМООБРАЗОВАНИЯ С УЧЕТОМ НЕПОЛНОЙ ОБРАТИМОСТИ ДЕФОРМАЦИЙ ПОЛЗУЧЕСТИ

К. С. Бормотин^{*,**}, Н. А. Тарануха^{*}

^{*} Комсомольский-на-Амуре государственный технический университет,
681013 Комсомольск-на-Амуре, Россия

^{**} Институт машиноведения и металлургии ДВО РАН,
681005 Комсомольск-на-Амуре, Россия

E-mails: cvmi@knastu.ru, taranukha@knastu.ru

С учетом теории неполной обратимости деформаций построены функционалы прямых и обратных задач о формообразовании деталей конструкций. Приведены постановки этих задач и доказана единственность их решений. Предложен итерационный метод решения обратных задач о формообразовании деталей конструкций. С использованием метода конечных элементов получены численные решения этих задач.

Ключевые слова: обратные задачи формообразования, вариационные неравенства, единственность, теория неполной обратимости деформации ползучести, сходимость, метод конечных элементов, итерационный метод.

DOI: 10.15372/PMTF20180117

Введение. Технологические задачи формообразования крупногабаритных изделий в режиме медленного деформирования имеют большое практическое значение в современном авиастроении [1–4]. При решении этих задач необходимо учитывать процесс восстановления, или обратную ползучесть. Для определения кинематических характеристик процесса деформирования, обеспечивающих заданную остаточную кривизну детали после разгрузки, решается обратная задача формообразования [4, 5]. В данной работе используется кинетическая теория ползучести, описывающая обратимую часть деформации ползучести после разгрузки [6, 7].

1. Постановка обратной задачи. Пусть $V \subset \mathbb{R}^3$ — ограниченная область с достаточно регулярной границей S . Обозначим через $\mathbf{u} = (u_1, u_2, u_3)$, $\tilde{\mathbf{u}} = (\tilde{u}_1, \tilde{u}_2, \tilde{u}_3)$ векторы текущих и остаточных перемещений, причем $\mathbf{u} \in [W_2^1(Q)]^3$, $\tilde{\mathbf{u}} \in [W_2^1(\tilde{Q})]^3$, $Q = V \times \{0 \leq t \leq T\}$, $\tilde{Q} = V \times \{0 \leq t \leq \tilde{T}\}$. Скалярное произведение в $L_2(S)$ имеет

Работа выполнена при финансовой поддержке Совета по грантам Президента РФ (грант № МК-6127.2015.1), Российского фонда фундаментальных исследований (код проекта 16-31-60038 мол.а.дк) и в рамках государственного задания Министерства образования и науки РФ (НИР № 9.536.2014/К (проектная часть), НИР № 909 (базовая часть)).

© Бормотин К. С., Тарануха Н. А., 2018

ВИД

$$(\mathbf{u}, \mathbf{v})_S = \int_S \sum_{i=1}^3 u_i v_i dS.$$

Соответствующая этому скалярному произведению норма имеет вид

$$\|\mathbf{u}\|_S = \sqrt{(\mathbf{u}, \mathbf{u})_S} = \left(\int_S \sum_{i=1}^3 u_i^2 dS \right)^{1/2}.$$

Обратная задача формообразования формулируется с использованием метода штрафа в форме квазистатического вариационного принципа с функционалом [8, 9]

$$J(\dot{\mathbf{u}}(t), \dot{\mathbf{u}}(\tilde{t})) = \frac{1}{2\varepsilon_1} \|\dot{\mathbf{u}}(t) - \dot{\mathbf{u}}^*(t)\|_S^2 + a(\dot{\mathbf{u}}(t), \dot{\mathbf{u}}(t)) + a(\dot{\mathbf{u}}(\tilde{t}), \dot{\mathbf{u}}(\tilde{t})) + \frac{1}{2\varepsilon_2} \|\dot{\mathbf{u}}(\tilde{t}) - \dot{\mathbf{u}}^*(\tilde{t})\|_S^2, \quad (1)$$

$$\varepsilon_1 > 0, \quad \varepsilon_1 \rightarrow 0, \quad \varepsilon_2 > 0, \quad \varepsilon_2 \rightarrow 0,$$

где точка обозначает производную по времени; $\dot{\mathbf{u}}^*(t)$, $\dot{\mathbf{u}}^*(\tilde{t})$ — заданные текущие и остаточные скорости перемещений в моменты времени t , \tilde{t} соответственно; $t \in [0, T]$ — интервал времени деформирования тела под нагрузкой; $\tilde{t} \in [0, \tilde{T}]$ — интервал времени разгрузки; в случае бесконечно малых деформаций потенциальные формы определяются в виде

$$a(\dot{\mathbf{u}}, \dot{\mathbf{v}}) = \int_V \frac{\partial W(\dot{\varepsilon}_{ij}(\dot{\mathbf{u}}))}{\partial \dot{\varepsilon}_{ij}(\dot{\mathbf{u}})} \dot{\varepsilon}_{ij}(\dot{\mathbf{v}}) dV, \quad a(\dot{\mathbf{u}}, \dot{\mathbf{v}}) = \int_V \frac{\partial W(\dot{\varepsilon}_{ij}(\dot{\mathbf{u}}))}{\partial \dot{\varepsilon}_{ij}(\dot{\mathbf{u}})} \dot{\varepsilon}_{ij}(\dot{\mathbf{v}}) dV,$$

$W(\dot{\varepsilon}_{ij}) = c_{ijkl} \dot{\varepsilon}_{ij} \dot{\varepsilon}_{kl} / 2 - c_{ijkl} \dot{\varepsilon}_{ij} \dot{\varepsilon}_{kl}^c$ [10]; $W(\dot{\varepsilon}_{ij}) = c_{ijkl} \dot{\varepsilon}_{ij} \dot{\varepsilon}_{kl} / 2 - c_{ijkl} \dot{\varepsilon}_{ij} \dot{\varepsilon}_{kl}^c$ [10]; c_{ijkl} — компоненты тензора упругих констант; $\dot{\varepsilon}_{ij}$, $\dot{\varepsilon}_{ij}^c$ — компоненты скоростей текущих и остаточных деформаций:

$$\dot{\varepsilon}_{ij} = (\dot{u}_{i,j} + \dot{u}_{j,i})/2, \quad \dot{\varepsilon}_{ij}^c = (\dot{u}_{i,j} + \dot{u}_{j,i})/2, \quad (2)$$

$\dot{\varepsilon}_{kl}^c$ — компоненты скоростей деформаций ползучести; $i, j, k, l = 1, 2, 3$; запятая обозначает дифференцирование: $u_{i,j} = \partial u_i / \partial x_j$.

Выражения для текущих и остаточных скоростей напряжений при бесконечно малых деформациях имеют вид

$$\dot{\sigma}_{ij}(t) = \frac{\partial W(\dot{\varepsilon}_{ij})}{\partial \dot{\varepsilon}_{ij}} = c_{ijkl} (\dot{\varepsilon}_{kl}(t) - \dot{\varepsilon}_{kl}^c(t)), \quad \dot{\rho}_{ij}(\tilde{t}) = \frac{\partial W(\dot{\varepsilon}_{ij})}{\partial \dot{\varepsilon}_{ij}} = c_{ijkl} (\dot{\varepsilon}_{kl}(\tilde{t}) - \dot{\varepsilon}_{kl}^c(\tilde{t})).$$

Независимые скорости $\dot{\mathbf{u}}(t)$ и $\dot{\mathbf{u}}(\tilde{t})$, обеспечивающие стационарное значение данного функционала (1), являются решением квазистатической задачи деформирования тела под нагрузкой и квазистатической задачи разгрузки. Конечное время нагружения обозначено T , время разгрузки — \tilde{T} , следовательно, длительность всего процесса формообразования равна $T + \tilde{T}$.

Компоненты скоростей деформации ползучести при деформировании под нагрузкой вычисляются по текущим напряжениям $\sigma_{ij}(t)$ и представляются в виде [7]

$$\dot{\varepsilon}_{ij}^c(t) = \dot{\xi}_{ij}(t) + \dot{\zeta}_{ij}(t) + \dot{\chi}_{ij}(t), \quad t \in [0, T], \quad \xi_{ij}(0) = 0, \quad \zeta_{ij}(0) = 0, \quad \chi_{ij}(0) = 0,$$

где $\dot{\xi}_{ij}(t)$, $\dot{\zeta}_{ij}(t)$ — компоненты скорости обратимой и необратимой деформации на первой стадии ползучести; $\dot{\chi}_{ij}(t)$ — деформации на стадии установившейся ползучести.

Компоненты скоростей деформации ползучести при разгрузке в момент времени $\tilde{t} \in [0, \tilde{T}]$ определяются по формулам

$$\begin{aligned} \dot{\tilde{\varepsilon}}_{ij}^c(\tilde{t}) &= \dot{\tilde{\xi}}_{ij}(\tilde{t}) + \dot{\tilde{\zeta}}_{ij}(\tilde{t}) + \dot{\tilde{\chi}}_{ij}(\tilde{t}), \\ \dot{\tilde{\chi}}_{ij}(\tilde{t}) &= \frac{3}{2} c \left(\frac{\rho_i}{\sigma^*} \right)^{m-1} \frac{1}{\sigma^*} \left(\rho_{ij} - \frac{1}{3} \rho_{kk} \delta_{ij} \right), \quad \tilde{\chi}_{ij}(0) = \chi_{ij}(t), \\ \dot{\tilde{\xi}}_{ij}(\tilde{t}) &= \sum_r \dot{\tilde{\xi}}_{ij}^r(\tilde{t}), \quad \tilde{\xi}_{ij}^r(0) = \xi_{ij}^r(t), \\ \dot{\tilde{\xi}}_{ij}^r(\tilde{t}) &= \lambda_r \left[a_r \left(\frac{\rho_i}{\sigma^*} \right)^{n-1} \frac{1}{\sigma^*} [(1 + \mu'_r) \rho_{ij} - \mu'_r \rho_{kk} \delta_{ij}] - \tilde{\xi}_{ij}^r(\tilde{t}) \right], \\ \dot{\tilde{\zeta}}_p(\tilde{t}) &= \sum_r \dot{\tilde{\zeta}}_p^r(\tilde{t}), \quad \tilde{\zeta}_p^r(0) = \zeta_p^r(t), \\ \dot{\tilde{\zeta}}_p^r(\tilde{t}) &= (1 + \mu''_r) \dot{\tilde{\beta}}_p^r(\tilde{t}) - \mu''_r (\dot{\tilde{\beta}}_1^r(\tilde{t}) + \dot{\tilde{\beta}}_2^r(\tilde{t}) + \dot{\tilde{\beta}}_3^r(\tilde{t})), \\ \dot{\tilde{\beta}}_p^r(\tilde{t}) &= \begin{cases} \lambda_r \left[b_r \left(\frac{\rho_i}{\sigma^*} \right)^{n-1} \frac{\rho_p}{\sigma^*} - \tilde{\beta}_p^r(\tilde{t}) \right], & \left[b_r \left(\frac{\rho_i}{\sigma^*} \right)^{n-1} \frac{\rho_p}{\sigma^*} - \tilde{\beta}_p^r(\tilde{t}) \right] \rho_p > 0, \\ 0, & \left[b_r \left(\frac{\rho_i}{\sigma^*} \right)^{n-1} \frac{\rho_p}{\sigma^*} - \tilde{\beta}_p^r(\tilde{t}) \right] \rho_p \leq 0. \end{cases} \end{aligned} \quad (3)$$

Здесь ρ_i — интенсивность тензора напряжений; $r, \lambda_r, a_r, b_r, c, n, m, \sigma^*$ — константы модели, с помощью которых описываются первая и вторая стадии ползучести материала и стадия ползучести после разгрузки; μ'_r, μ''_r — коэффициенты Пуассона для обратимой и необратимой компонент деформаций ползучести; $\tilde{\beta}_p^r$ — активные вязкопластические деформации. Расчет вязкопластической деформации $\dot{\tilde{\zeta}}_{ij}^r(t)$ осуществляется в главных осях. Соотношения (3) для текущих напряжений при нулевых начальных значениях являются компонентами деформаций $\dot{\tilde{\varepsilon}}_{ij}^c(t)$.

Пусть $\dot{\sigma}_{ij}^d$ — разности остаточных и текущих скоростей напряжений, представляющие собой компоненты скоростей напряжений неупругого деформирования:

$$\dot{\rho}_{ij}(\tilde{t}) - \dot{\sigma}_{ij}(t) = c_{ijkl} (\dot{\varepsilon}_{kl}^d + \dot{\varepsilon}_{kl}^c(t) - \dot{\tilde{\varepsilon}}_{kl}^c(\tilde{t})) = c_{ijkl} \dot{\varepsilon}_{kl}^e = \dot{\sigma}_{ij}^d.$$

Здесь $\dot{\varepsilon}_{kl}^d = \dot{\tilde{\varepsilon}}_{kl}(\tilde{t}) - \dot{\varepsilon}_{kl}(t)$.

Поскольку $\dot{\varepsilon}_{kl}(t), \dot{\tilde{\varepsilon}}_{kl}(\tilde{t})$ удовлетворяют условиям совместности деформаций и одним и тем же граничным условиям, их разность $\dot{\varepsilon}_{kl}^d$ также удовлетворяет условиям совместности. Согласно закону Гука скоростям напряжений $\dot{\sigma}_{ij}^d$ соответствуют упругие скорости деформаций $\dot{\varepsilon}_{kl}^e$, которые необязательно удовлетворяют условиям совместности.

Вариационный принцип задачи разгрузки можно представить в виде (учитываются уравнения равновесия $\dot{\rho}_{ij,j} = 0$ в области V и граничные условия $\dot{\rho}_{ij} n_j = 0$ на поверхности S) [8, 9]

$$\int_V \dot{\rho}_{ij} \delta \dot{\tilde{\varepsilon}}_{ij} dV = \int_V (\dot{\sigma}_{ij} + \dot{\sigma}_{ij}^d) \delta \dot{\tilde{\varepsilon}}_{ij} dV = \int_S \dot{\sigma}_{ij} n_j \delta \dot{u}_i dS + \int_V \dot{\sigma}_{ij}^d \delta \dot{\tilde{\varepsilon}}_{ij} dV = 0. \quad (4)$$

Однако в работах [8, 9] учитывалась только упругая разгрузка, что соответствует значению $\tilde{t} = 0$ в (4). В данном случае в (4) используются скорости напряжений и деформаций в различные моменты времени. Из единственности решения (4) следует однозначная зависимость между путями деформирования при нагружении и разгрузке.

Таким образом, если принять зависимости

$$\dot{\rho}_{ij} = \dot{\sigma}_{ij} + \dot{\sigma}_{ij}^d, \quad \dot{\sigma}_{ij}^d = \frac{\partial W^d(\dot{\tilde{\varepsilon}}_{ij})}{\partial \dot{\tilde{\varepsilon}}_{ij}} = c_{ijkl}(\dot{\tilde{\varepsilon}}_{kl}(\tilde{t}) - \dot{\varepsilon}_{kl}(t) + \dot{\varepsilon}_{kl}^c(t) - \dot{\tilde{\varepsilon}}_{kl}^c(\tilde{t})),$$

где $W^d(\dot{\tilde{\varepsilon}}_{ij}) = c_{ijkl}\dot{\tilde{\varepsilon}}_{ij}\dot{\tilde{\varepsilon}}_{kl}/2 - c_{ijkl}\dot{\tilde{\varepsilon}}_{ij}\dot{\varepsilon}_{kl} + c_{ijkl}\dot{\tilde{\varepsilon}}_{ij}(\dot{\varepsilon}_{kl}^c - \dot{\tilde{\varepsilon}}_{kl}^c)$, то в случае бесконечно малых деформаций достаточными условиями единственности [10, 11] решения задач деформирования с введенными потенциалами будут условия

$$\int_V \Delta \left(\frac{\partial W(\dot{\tilde{\varepsilon}}_{ij})}{\partial \dot{\tilde{\varepsilon}}_{ij}} \right) \Delta \dot{\tilde{\varepsilon}}_{ij} dV > 0, \quad \int_V \Delta \left(\frac{\partial W(\dot{\tilde{\varepsilon}}_{ij})}{\partial \dot{\tilde{\varepsilon}}_{ij}} \right) \Delta \dot{\tilde{\varepsilon}}_{ij} dV > 0, \quad (5)$$

$$\int_V \Delta \left(\frac{\partial W^d(\dot{\tilde{\varepsilon}}_{ij})}{\partial \dot{\tilde{\varepsilon}}_{ij}} \right) \Delta \dot{\tilde{\varepsilon}}_{ij} dV > 0$$

для всех пар непрерывно дифференцируемых полей скоростей перемещений (учитываются соотношения Коши (2)), принимающих заданные значения на границе. В (5) Δ означает разность соответствующих величин для двух различных деформированных состояний.

Так как в (1) условия для скорости перемещений учитываются с помощью штрафных коэффициентов, то в вариационном принципе кинематически допустимым полем скоростей перемещений является поле скоростей перемещений, удовлетворяющее условиям закрепления. Условия, исключая жесткое перемещение тела, в задачах деформирования и разгрузки должны быть одинаковыми. Под произвольным полем скоростей перемещений будем понимать скорости перемещений, удовлетворяющие данным условиям. С учетом условий (5) функционал (1) является выпуклым [10, 11] и обратная задача формообразования может быть представлена в виде неравенства

$$\frac{1}{\varepsilon_1} (\dot{\mathbf{u}} - \dot{\mathbf{u}}^*, \dot{\mathbf{v}} - \dot{\mathbf{u}})_S + a(\dot{\mathbf{u}}, \dot{\mathbf{v}} - \dot{\mathbf{u}}) + a(\dot{\mathbf{u}}, \dot{\mathbf{v}} - \dot{\mathbf{u}}) + \frac{1}{\varepsilon_2} (\dot{\mathbf{u}} - \dot{\mathbf{u}}^*, \dot{\mathbf{v}} - \dot{\mathbf{u}})_S \geq 0 \quad \forall \dot{\mathbf{v}}, \forall \dot{\mathbf{v}}. \quad (6)$$

На примере одноосного растяжения стержня рассмотрим возможность разделения процессов деформирования. Уравнения для обратимых деформаций при деформировании под нагрузкой при $t \in [0, T]$ ($\sigma(t) \neq 0$) записываются в виде [7]

$$\dot{\eta}(t) = \lambda[a\sigma(t) - \eta(t)], \quad \eta(0) = 0.$$

С учетом нулевых начальных условий решение неоднородного дифференциального уравнения при $t \in [0, T]$ имеет вид

$$\eta(t) = \int_0^t \lambda a e^{-\lambda(t-\tau)} \sigma(\tau) d\tau.$$

Уравнения для обратимых деформаций при разгрузке при $\tilde{t} \in [0, \tilde{T}]$ ($\rho(\tilde{t}) = 0$) принимают вид

$$\dot{\tilde{\eta}}(\tilde{t}) = \lambda[a\rho(\tilde{t}) - \tilde{\eta}(\tilde{t})], \quad \tilde{\eta}(0) = \eta(t).$$

С учетом $\rho(\tilde{t}) = 0$ решение имеет вид

$$\tilde{\eta}(\tilde{t}) = \int_0^t \lambda a e^{-\lambda(t+\tilde{t}-\tau)} \sigma(\tau) d\tau.$$

Таким образом, полная функция наследственной деформации на всем промежутке времени $t \in [0, T + \tilde{T}]$ может быть записана в виде

$$\eta(t) = \begin{cases} \int_0^t \lambda a e^{-\lambda(t-\tau)} \sigma(\tau) d\tau, & t \in [0, T], \\ \int_0^T \lambda a e^{-\lambda(t-\tau)} \sigma(\tau) d\tau, & t \in (T, T + \tilde{T}]. \end{cases}$$

Остальные (необратимые) компоненты деформаций ползучести для данной задачи в силу разделения процессов при разгрузке равны значениям деформации, накопленным на интервале времени, когда тело находилось под нагрузкой.

Теорема. Пусть выполнены достаточные условия единственности решения задач деформирования и разгрузки. Тогда решение прямой и обратной задач формообразования является единственным.

ДОКАЗАТЕЛЬСТВО. Пусть имеется два решения задачи формообразования $\dot{u}_{1i}, \dot{\check{u}}_{1i}$ и $\dot{u}_{2i}, \dot{\check{u}}_{2i}$ в области V . Для прямой задачи на поверхности S выполняются равенства $\dot{u}_{2i} - \dot{u}_{1i} = \Delta \dot{u}_i = 0$, для обратной — $\dot{\check{u}}_{2i} - \dot{\check{u}}_{1i} = \Delta \dot{\check{u}}_i = 0$. Для каждого решения выполняется неравенство (6). Полагая в неравенстве (6) $\dot{v}_i = \dot{u}_{1i} - \Delta \dot{u}_i^d, \dot{\check{v}}_i = \dot{\check{u}}_{1i} + \Delta \dot{u}_i^d$ и $\dot{v}_i = \dot{u}_{2i} + \Delta \dot{u}_i^d, \dot{\check{v}}_i = \dot{\check{u}}_{2i} - \Delta \dot{u}_i^d$ и складывая соответствующие неравенства, получаем

$$\frac{1}{\varepsilon_1} (\Delta \dot{\mathbf{u}}, \Delta \dot{\mathbf{u}}^d)_S + a(\Delta \dot{\mathbf{u}}, \Delta \dot{\mathbf{u}}^d) - a(\Delta \dot{\check{\mathbf{u}}}, \Delta \dot{\mathbf{u}}^d) - \frac{1}{\varepsilon_2} (\Delta \dot{\check{\mathbf{u}}}, \Delta \dot{\mathbf{u}}^d)_S \geq 0.$$

Рассмотрим разность

$$a(\Delta \dot{\mathbf{u}}(t), \Delta \dot{\mathbf{u}}^d) - a(\Delta \dot{\check{\mathbf{u}}}(\tilde{t}), \Delta \dot{\mathbf{u}}^d) = - \int_V \Delta \dot{\sigma}_{ij}^d \Delta \dot{\varepsilon}_{ij}^d dV.$$

Так как

$$\begin{aligned} \int_V \Delta \dot{\sigma}_{ij}^d \Delta \dot{\varepsilon}_{ij}^d dV &= \int_V (\Delta \dot{\sigma}_{ij} \Delta \dot{\varepsilon}_{ij} + \Delta \dot{\sigma}_{ij}^d \Delta \dot{\varepsilon}_{ij} - \Delta \dot{\rho}_{ij} \Delta \dot{\varepsilon}_{ij}) dV \geq \\ &\geq - \int_V \Delta \dot{\rho}_{ij} \Delta \dot{\varepsilon}_{ij} dV = \int_V \Delta \dot{\rho}_{ij,j} \Delta \dot{u}_i dV - \int_S \Delta \dot{\rho}_{ij} n_j \Delta \dot{u}_i dS = 0, \end{aligned}$$

то

$$\frac{1}{\varepsilon_1} (\Delta \dot{\mathbf{u}}, \Delta \dot{\mathbf{u}}^d)_S - \frac{1}{\varepsilon_2} (\Delta \dot{\check{\mathbf{u}}}, \Delta \dot{\mathbf{u}}^d)_S \geq 0.$$

Для прямой задачи $\Delta \dot{\mathbf{u}} = 0$ на поверхности S , тогда $\Delta \dot{\mathbf{u}}^d = \Delta \dot{\check{\mathbf{u}}}$ на поверхности S , следовательно, $0 \geq \|\Delta \dot{\check{\mathbf{u}}}\|_S^2 \geq 0$ или $\Delta \dot{\check{\mathbf{u}}} = 0$ на поверхности S . Для обратной задачи $\Delta \dot{\check{\mathbf{u}}} = 0$ на поверхности S , тогда $\Delta \dot{\mathbf{u}}^d = -\Delta \dot{\mathbf{u}}$ на поверхности S , следовательно, $0 \geq \|\Delta \dot{\mathbf{u}}\|_S^2 \geq 0$ или $\Delta \dot{\mathbf{u}} = 0$ на поверхности S . Теорема доказана.

В работах [8, 9] с учетом ограничения методом штрафа и с использованием управления с помощью обратных связей построена процедура решения обратных задач

$$\begin{aligned} A_1^k (\dot{\mathbf{u}}^{k+1} - \dot{\mathbf{u}}^k, \mathbf{v} - \dot{\mathbf{u}}^{k+1})_S + a(\dot{\mathbf{u}}^k, \mathbf{v} - \dot{\mathbf{u}}^{k+1}) + a(\dot{\mathbf{u}}^k, \tilde{\mathbf{v}} - \dot{\mathbf{u}}^*) + \\ + A_2^k (\dot{\mathbf{u}}^* - \dot{\mathbf{u}}^k, \tilde{\mathbf{v}} - \dot{\mathbf{u}}^*)_S \geq 0 \quad \forall \mathbf{v}, \forall \tilde{\mathbf{v}}, \quad (7) \end{aligned}$$

где $A_1^k > 0, A_2^k > 0$ ($k = 1, 2, \dots, \lim_{k \rightarrow \infty} A_1^k = \infty, \lim_{k \rightarrow \infty} A_2^k = \infty$).

Лемма. Пусть $\dot{\mathbf{u}}^k, \dot{\tilde{\mathbf{u}}}^k$ — решения задачи деформирования с заданными на поверхности S граничными условиями и задачи разгрузки. Тогда итерационный процесс (7) решения обратной задачи формообразования на S представляется в виде

$$\dot{u}_i^{k+1}(t) = \dot{u}_i^k(t) + \alpha^k(\dot{u}_i^*(\tilde{t}) - \dot{u}_i^k(\tilde{t})), \quad \alpha^k = A_2^k/A_1^k. \quad (8)$$

Доказательство. Пусть в (7) $\dot{v}_i = \dot{u}_i^{k+1} - \dot{u}_i^k + \dot{u}_i^k, \dot{v}_i = \dot{u}_i^* + \dot{u}_i^k - \dot{u}_i^k$. Тогда

$$A_1^k(\dot{\mathbf{u}}^{k+1} - \dot{\mathbf{u}}^k, \dot{\mathbf{u}}^d)_S + a(\dot{\mathbf{u}}^k, \dot{\mathbf{u}}^d) - a(\dot{\tilde{\mathbf{u}}}^k, \dot{\mathbf{u}}^d) - A_2^k(\dot{\tilde{\mathbf{u}}}^* - \dot{\tilde{\mathbf{u}}}^k, \dot{\mathbf{u}}^d)_S \geq 0, \quad (9)$$

где $\dot{u}_i^d = \dot{u}_i^k - \dot{u}_i^k$.

Поскольку

$$a(\dot{\tilde{\mathbf{u}}}^k, \dot{\mathbf{u}}^d) - a(\dot{\mathbf{u}}^k, \dot{\mathbf{u}}^d) = \int_V \dot{\sigma}_{ij}^d \dot{\varepsilon}_{ij}^d dV = \int_V (\dot{\sigma}_{ij}^d \dot{\varepsilon}_{ij} + \dot{\sigma}_{ij} \dot{\varepsilon}_{ij} - \dot{\rho}_{ij} \dot{\varepsilon}_{ij}) dV \geq 0,$$

неравенство (9) принимает вид

$$(\dot{\mathbf{u}}^{k+1} - \dot{\mathbf{u}}^k, \dot{\mathbf{u}}^d)_S - (A_2^k/A_1^k)(\dot{\tilde{\mathbf{u}}}^* - \dot{\tilde{\mathbf{u}}}^k, \dot{\mathbf{u}}^d)_S \geq 0.$$

Данное неравенство определяет операцию проектирования [12], поэтому

$$\dot{u}_i^{k+1} = \dot{u}_i^k + \alpha^k(\dot{u}_i^* - \dot{u}_i^k), \quad \alpha^k = A_2^k/A_1^k, \quad i = 1, 2, 3.$$

Сходимость данного итерационного метода в $L_2(S)$ при $0 < \alpha^k < 2$ доказывается аналогично тому, как это сделано в [8, 9]. Из [9] следует, что данные задачи могут быть обобщены на случай геометрической нелинейности, а именно представлены в общей лагранжевой формулировке.

При доказательстве приведенных выше теоремы и леммы предполагалось, что выполняются неравенства $\int_V \dot{\sigma}_{ij}^d \dot{\varepsilon}_{ij}^d dV \geq 0$ и $\int_V \Delta \dot{\sigma}_{ij}^d \Delta \dot{\varepsilon}_{ij}^d dV \geq 0$. Нетрудно показать справедливость данных неравенств в одномерных задачах, в частности в задаче одноосного растяжения и чистого изгиба стержня при напряжении и скорости напряжения, имеющих один и тот же знак.

2. Результаты численного решения. Применяя метод конечных элементов для решения вариационных задач [10], построенных с использованием функционала (1), при условии независимости функций $\dot{\mathbf{u}}(t)$ и $\dot{\tilde{\mathbf{u}}}(\tilde{t})$ можно получить систему алгебраических уравнений задачи о деформировании тела при нагружении и систему алгебраических уравнений задачи о деформировании тела при разгрузке:

$$K\dot{\mathbf{U}} = \dot{\mathbf{R}}, \quad \tilde{K}\dot{\tilde{\mathbf{U}}} = \dot{\tilde{\mathbf{R}}}(\dot{\mathbf{U}}).$$

Здесь K, \tilde{K} — симметричные матрицы касательной жесткости, определенные в моменты t, \tilde{t} соответственно; $\dot{\mathbf{R}}$ — вектор скоростей внутренних и внешних сил; $\dot{\tilde{\mathbf{R}}}$ — вектор скоростей сил, обусловленных начальными деформациями и начальными напряжениями.

Ниже приводятся результаты решения двух задач. В результате решения первой задачи по заданным перемещениям определяются распределения в теле напряжений и деформаций. В результате решения второй задачи определяются перемещения $\tilde{\mathbf{U}}$, полученные при разгрузке. Затем вычисляются остаточные перемещения $\tilde{\mathbf{U}} = \mathbf{U} + \tilde{\mathbf{U}}$.

С использованием уравнения (8) для любых заданных остаточных скоростей перемещений в некоторый момент разгрузки \tilde{t} можно определить скорости текущих перемещений

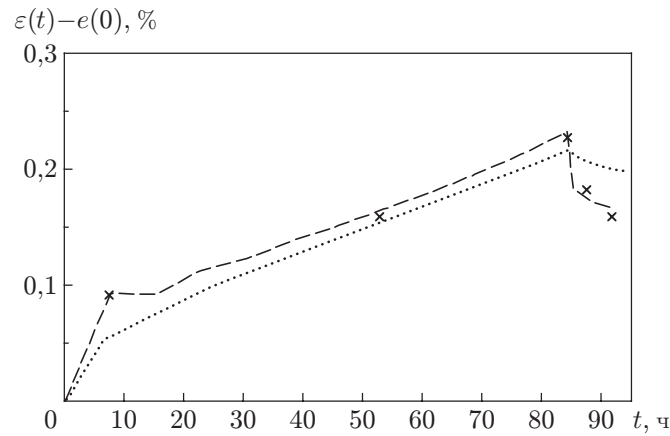


Рис. 1. Кривые деформаций ползучести:
 пунктирная линия — зависимость, полученная при решении задачи с использованием формул (3) (константы материала см. в [7]), штриховая — зависимость, полученная с учетом повреждаемости материала [7], точки — экспериментальные данные [7]

в некоторый момент нагружения t . Таким образом, при выполнении достаточных условий единственности решения путь деформирования при нагружении однозначно определяет путь деформирования при разгрузке. Уравнение (8) можно проинтегрировать, если продолжить функции $\dot{u}_i^k(t)$, $\tilde{\dot{u}}_i^k(t)$:

$$\dot{u}_i^k(t) = \begin{cases} \dot{u}_i^k(t), & t \in [0, T], \\ 0, & t \in (T, T + \tilde{T}], \end{cases} \quad \tilde{\dot{u}}_i^k(t) = \begin{cases} \dot{u}_i^k(0), & t \in [0, T], \\ \tilde{\dot{u}}_i^k(t), & t \in (T, T + \tilde{T}] \end{cases}$$

($\dot{u}_i^k(0)$ — скорости остаточных перемещений при мгновенной упругой разгрузке). Интегрируя уравнение (8) на интервале $[0, T + \tilde{T}]$, получаем $u_i^{k+1}(T) = u_i^k(T) + \alpha^k(\tilde{u}_i^*(T + \tilde{T}) - \tilde{u}_i^k(T + \tilde{T}))$.

На рис. 1 приведены зависимости $\varepsilon(t) - e(0)$ ($\varepsilon(t)$ — полная деформация; $e(0)$ — упругая деформация в начальный момент времени) для случая одноосного растяжения стержня из материала ЭИ698 при температуре $T = 750$ °С.

С использованием итерационного метода решена также задача об определении упреждающей формы, обеспечивающей заданную кривизну, после разгрузки квадратной пластины толщиной h (длина стороны квадрата равна a) из материала ЭИ698 при температуре $T = 750$ °С. Рассматривается упреждающая форма пластины, моделирующая ее кручение [13].

Сначала решается задача о кручении пластины. Определенный в результате решения этой задачи прогиб $\tilde{\mathbf{u}}(T + \tilde{T})$ используется в качестве начальной итерации $\mathbf{u}^0(T) = \tilde{\mathbf{u}}(T + \tilde{T})$. Перемещения в кинематической задаче на любой итерации принимаются в виде $\mathbf{u}^k(t) = t\mathbf{u}^k(T)$, $t \in [0, T]$. Время деформирования пластины с заданными перемещениями равно 30 ч, время разгрузки — 10 ч.

На рис. 2 приведена зависимость среднеквадратичной ошибки $e = e_i/e_1$ от числа итераций при различных значениях параметра α ($e_i = \left(\sum_S (\tilde{\mathbf{w}}^i - \tilde{\mathbf{w}}^0)^2\right)^{1/2}$; S — нижняя поверхность пластины; i — номер итерации; $\tilde{\mathbf{w}}^i$, $\tilde{\mathbf{w}}^0$ — векторы узловых параметров, описывающих функции прогиба на i -м приближении и заданного прогиба).

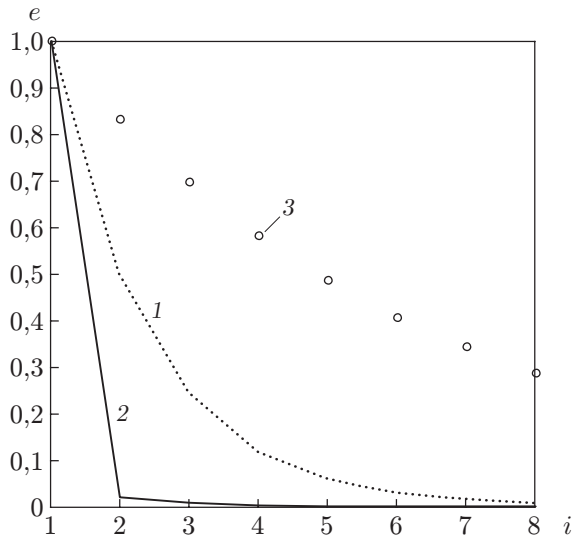


Рис. 2

Рис. 2. Зависимость среднеквадратичной ошибки от числа итераций при различных значениях параметра α :

1 — $\alpha = 0,5$, 2 — $\alpha = 1,0$, 3 — $\alpha = 1,8$

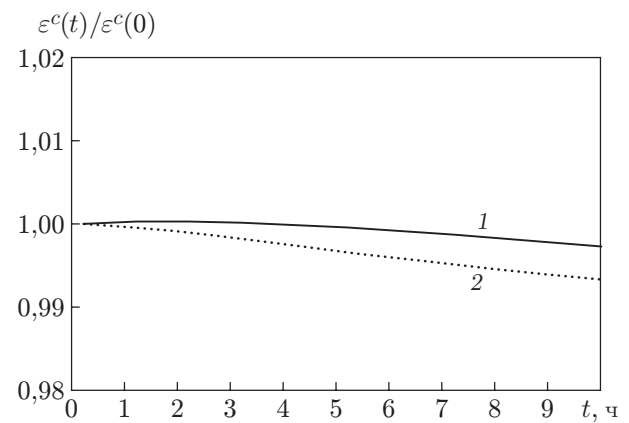


Рис. 3

Рис. 3. Зависимости обратной ползучести от времени в узлах, в которых достигается максимальное значение деформации:

1 — пластина из материала ЭИ698 ($T = 750 \text{ }^\circ\text{C}$), 2 — пластина из материала АК4 ($T = 250 \text{ }^\circ\text{C}$)

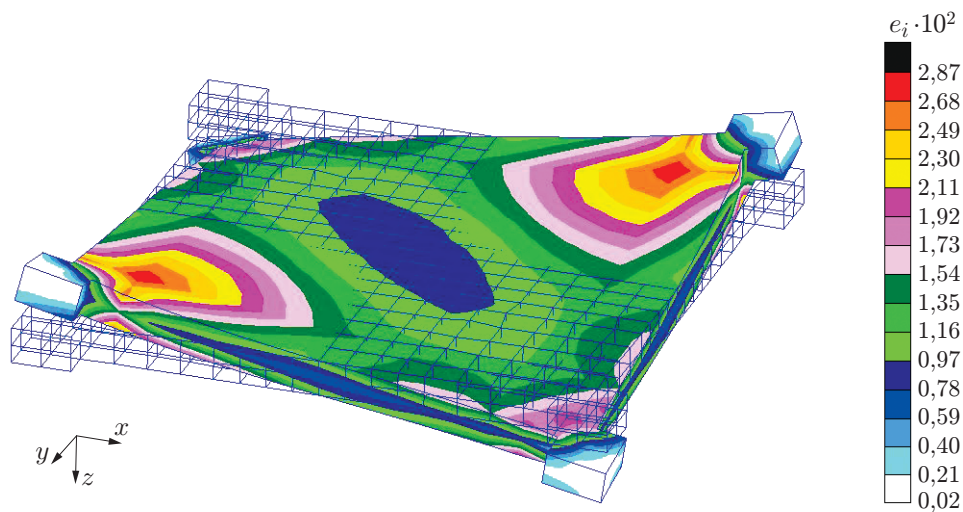


Рис. 4. Распределение интенсивностей деформаций ползучести после разгрузки для сплава ЭИ698

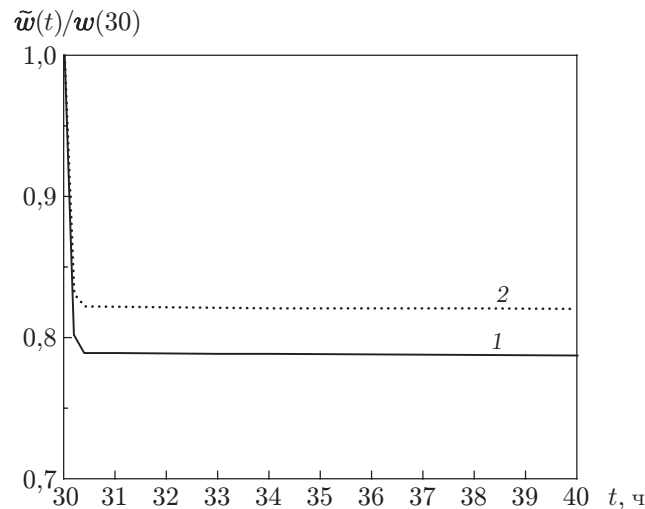


Рис. 5. Зависимость остаточного прогиба от времени в узле, расположенном в угле пластины:
 1 — пластина из материала ЭИ698 ($T = 750\text{ }^{\circ}\text{C}$), 2 — пластина из материала АК4 ($T = 250\text{ }^{\circ}\text{C}$)

На рис. 3 представлена зависимость обратной ползучести от времени (сплошная кривая) в узлах, в которых достигается максимальное значение деформации, для пластины из материала ЭИ698 при температуре $T = 750\text{ }^{\circ}\text{C}$, а также аналогичная зависимость для пластины из материала АК4 при температуре $T = 250\text{ }^{\circ}\text{C}$ (пунктирная кривая). Узлы, в которых достигаются максимальные значения деформаций, расположены на диагонали поверхности пластины на расстоянии 44 мм от углов пластины (рис. 4).

На рис. 5 приведены зависимости остаточного прогиба от времени в узле, расположенном в угле пластины.

В работе с использованием теории неполной обратимости деформаций ползучести сформулированы обратные задачи формообразования, разработан итерационный метод решения и приведены численные решения задач.

ЛИТЕРАТУРА

1. Adachi T., Kimura S., Nagayama T., et al. Age forming technology for aircraft wing skin // Materials Forum. 2004. V. 28. P. 202–207.
2. Lihua Z., Jianguo L., Minghui H. Study on springback behavior in creep age forming of aluminium sheets // Adv. Sci. Lett. 2013. V. 19, N 1. P. 75–79.
3. Аннин Б. Д., Олейников А. И., Бормотин К. С. Моделирование процессов формообразования панелей крыла самолета SSJ-100 // ПМТФ. 2010. Т. 51, № 4. С. 155–165.
4. Олейников А. И., Бормотин К. С. Моделирование формообразования крыловых панелей в режиме ползучести с деформационным старением в решениях обратных задач // Учен. зап. Комс.-на-Амуре гос. техн. ун-та. 2015. № II-1. С. 5–12.
5. Цвелодуб И. Ю. Постулат устойчивости и его приложения в теории ползучести металлических материалов. Новосибирск: Ин-т гидродинамики СО АН СССР, 1991.
6. Самарин Ю. П. Уравнения состояния материалов со сложными реологическими свойствами. Куйбышев: Куйбышев. гос. ун-т, 1979.
7. Радченко В. П. Ползучесть и релаксация остаточных напряжений в упрочненных конструкциях / В. П. Радченко, М. Н. Саушкин. М.: Машиностроение-1, 2005.

8. **Бормотин К. С.** Итеративный метод решения обратных задач формообразования элементов конструкций в режиме ползучести // Вычисл. методы и программирование. 2013. Т. 14, разд. 1. С. 141–148.
9. **Бормотин К. С.** Итеративный метод решения геометрически нелинейных обратных задач формообразования элементов конструкций в режиме ползучести // Журн. вычисл. математики и мат. физики. 2013. Т. 53, № 12. С. 145–153.
10. **Коробейников С. Н.** Нелинейное деформирование твердых тел. Новосибирск: Изд-во СО РАН, 2000.
11. **Hill R.** On uniqueness and stability in the theory of finite elastic strain // J. Mech. Phys. Solids. 1957. V. 5, N 4. P. 229–241.
12. **Васильев Ф. П.** Методы оптимизации. М.: Факториал Пресс, 2002.
13. **Коробейников С. Н., Олейников А. И., Горев Б. В., Бормотин К. С.** Математическое моделирование процессов ползучести металлических изделий из материалов, имеющих разные свойства при растяжении и сжатии // Вычисл. методы и программирование. 2008. Т. 9. С. 346–365.

*Поступила в редакцию 18/VIII 2016 г.,
в окончательном варианте — 15/XI 2016 г.*
